

運輸省港湾局 正員 大野正人
 大阪大学工学部 正員 小松亮夫
 大阪大学工学部 正員 雨村宣男

1. まえがき 側道ガーレートガーデンの一形式である横桁が連結された2主桁橋の極限強度特性を、薄肉はり有限要素を用いた弾塑性有限変形解析によて明らかにした。極限強度に及ぼす初期不整の影響、全体横倒れ崩壊と横倒れにおける主桁の局部構倒れ崩壊の相互作用、横桁取付部における局部変形を考慮した上での横桁の補剛効果などについて検討を加える。

2. 解析法の概要 Updated Lagrangian 座標を用いた2次元骨組構造の弾塑性有限変形解析プログラム (NAFRAM) を作成した。一般に崩壊面薄肉はり有限要素を用いているが、横桁取付部における局部変形を理想化して、要素両端に回転バネを有する特別な要素を作成し、横桁に付加している。材料は完全弾塑性で、履歴効果は考慮しない。数値解析には Crisfield の収束加速法を考慮した修正 NR 法と仮想力法の方法を適用し、極限状態附近の反復回数を低減し、除荷域までの追跡を可能にしている。

3. 解析モデル 教多くの実橋データを参考にして解析モデルを作成した。図-1は解析モデルの形状であり、図-2は実橋の全体横倒れ座屈に相当する細長比比 $\alpha^0 = \sqrt{M_y/M_{cr}^0}$ 、および主桁の局部構倒れ座屈に相当する細長比パラメータ $\alpha^m = \sqrt{M_y/M_{cr}^m}$ の分布を表わしている。表-1および図-2に解析モデルの諸元を示す。モデル群Ⅰは落橋桁を、モデル群Ⅱは圧延鋼（H形鋼橋梁）に相当している。なお、全体横倒れ座屈荷重 ($P_{cr} = 8 M_{cr}^0/l^2$) は2主桁橋の1次元化理論による簡易式(1)によると計算される。初期変位は IDM テーブルに基づいて水平変位 $u_0 = l/2000$ を基準とする。

4. 結果と考察

(1) 2主桁橋の横倒れ特性 図-3はモデル群Ⅰ-2について初期変位を $l/1000$

表-1 モデル群Ⅰの諸元

item	Model 1	Model 2	Model 3	Model 4	
l (m)	30	30	30	30	
b (m)	1.2	1.2	1.2	1.5	
λ (m)	3.75	3.75	3.75	3.75	
main girder	1200×9	1200×9	1200×9	1200×9	
web flange	300×18	300×18	340×16	370×15	
cross girder	300×9	1000×9	1000×9	1000×10	
flange	120×9	135×9	175×9	200×10	
camber (m)		0.1415			
initial deflection		$l/1000$	$l/2000$		
residual stress		welded pattern			
loading condition		uniformly distributed load			
steel grade		SM 50			
P_1	0.52	0.52	0.52	0.36	
P_2	8	8	8	8	
P_3	194	194	151	197	
parameter	P_4	0.1	0.142	0.240	0.263
	P_5	2.0	0.1	0.1	0.1
	P_6	0.578	0.209	0.135	0.126
elastic buckling load (t/m)	2.71	3.74	4.64	6.91	
full plastic moment (tm)	603.6	603.6	608.7	618.0	
slenderness parameter α^0	1.34	1.14	1.01	0.84	

表-2 モデル群Ⅱの諸元

item	Model II -1 II -3	Model II -2 II -4 II -6	Model II -5 II -7 II -9	Model II -8 II -10
l (m)	23	23	18	21.245
b (m)	II -1 2.8 II -3 2.0	II -2 2.8 II -4 2.0 II -6 1.4	II -5 1.8 II -7 1.3 II -9 1.0	II -8 1.8 II -10 1.5
λ (m)	4.60	5.75	4.50	5.311
main girder	700-300-13-24 II-1 300-150-9	692-300-13-20 II-2 300-120-9	600-200-11-17	600-200-11-17
cross girder	II-3 300-90-9	II-4 300-90-9 II-6 300-90-9		250-90-9
steel grade			SM50Y	
camber (m)	0.196	0.198	0.139	0.194
initial deflection			$l/2000$	
residual stress			cooling pattern	
loading condition		uniformly distributed load - upper flange loading -		
α^m	0.808 II -1 0.811	1.010 II -2 0.802	1.186 II -5 1.023	1.400 II -8 1.204
α^0	II -3 0.991	II -4 0.997 II -6 1.204	II -7 1.203 II -9 1.383	II -10 1.399

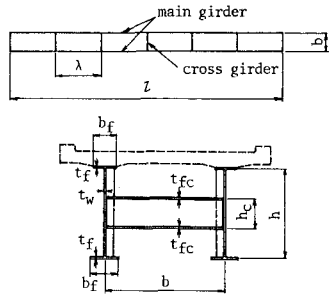


図-1 解析モデルの形状

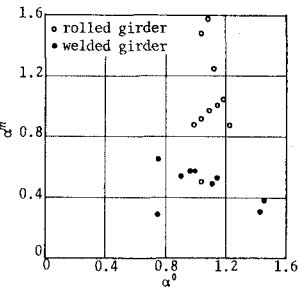


図-2 実橋の細長比パラメータ α^0 , α^m の分布

および $z/l=5000$ とし幾何学的非線形性のみを考慮した弾性解析と、初期たわみ $z/l=1000$ の場合の塑性解析の結果を前章一スパン中央水平変位の関係について比較して示した。材料非線形を無視した場合でも、Z主析橋の後座屈領域には除荷現象を生じている。このような特性によりスレンダーなZ主析橋の極限強度は初期変位や残留応力の影響を顕著に受けることが明らかになつた。

(2) 全体および局部横倒れ崩壊の相互作用 図-4にモデルII-6, 7および8の極限状態附近における主桁ねじれ角のスパン方向分布を示す。これらのモデルでは α^0 はほぼ 1.2 度一定であるが、局部横倒れに適する α^m は 1.0 度～1.4 度と変えてある。II-6 ($\alpha^0 > \alpha^m$) の結果は明らかに全座屈强度で卓越するが、II-7 ($\alpha^0 = \alpha^m$)、II-8 ($\alpha^0 < \alpha^m$) では全体モードと同程度に局部横倒れモードが現われてゐる。しかしながら、極限強度への影響はあまり顕著には現われてない。 α^m の算定において座屈長と横倒れ剛性とに、たびたび見積りにより、解析モデルの作成において局部横倒れ座屈強度は過少に評価されていふことが判明した。図-5はECCSのより耐荷力曲線との比較を試みたものである。圧延軸の基準となる $n=1.5$ の曲線に対し、局部横倒れの卓越する II-2, 5, 8 の極限強度はかなり大きくなつてゐる。横接続によらず横倒れによる補剛効果によるものと考えられる。

(3) 全体横倒れ極限強度曲線 降伏荷重が無次元表示した解析モデルの極限強度と細長比パラメータ α^0 の関係を図-6および図-7に示す。圧延軸については表-2のモデルII-6, 7, 8 に細長比パラメータの大きさの領域と小さな領域に分けてモデルを追加した。先に横接続に対しては初期変位 $z/l=2000$ の場合、圧延軸に対しては $\alpha^0 \geq \alpha^m$ の場合の極限強度の下限を包絡するように ECCSより曲線の表現を用いて極限強度曲線を定めた。

$$\text{梁接続: } p_u/p_u = [1/(1 + (\alpha^0)^{3.4})]^{1/7}$$

$$\text{圧延軸: } p_u/p_u = [1/(1 + (\alpha^0)^{4.4})]^{1/2.2}$$

これらの曲線は図-6および図-7に実線で示した。なお、横倒れ取付部の局部変形の影響については、紙面の都合で論及できなかつたが、細長比パラメータにはこの局部変形が考慮されてゐる。具体的には表-1のパラメータ P_5 が局部変形の程度を表わす指標になつてゐる。

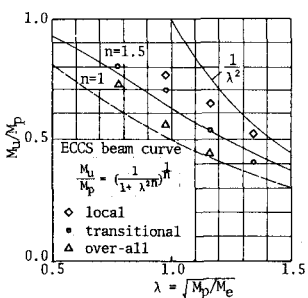


図-5 圧延軸の極限強度と入

参考文献 1) 小松、西村、大野：横倒れ連続されたZ主析橋の全体横倒れ座屈荷重の簡易計算式、土木学会関西支部年次講演会、1982-6. 2) 小松ほか：鋼橋部材の形状初期不整と耐荷力の統計学的研究、JSSC, 16, 170, 1980.

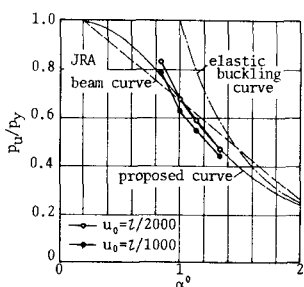


図-6 横接続の極限強度と α^0 の関係

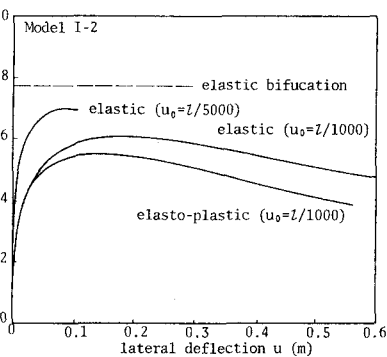


図-3 Z主析橋の横倒れ後座屈現象

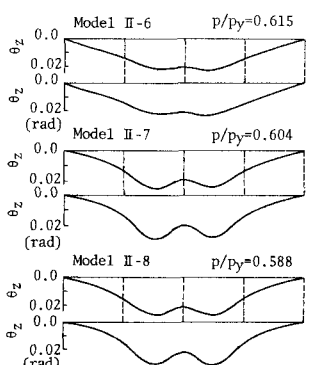


図-4 極限状態附近における主桁ねじれ角の分布(圧延軸)

